

砕波帯における乱れ

日立造船(株) 正員 〇栗原 薫
 筑波大学工学部 正員 神沼忠男
 筑波大学工学部 正員 伊福 誠

1. はじめに

海岸に襲撃する波浪は遂には碎けて、その組織的運動を消滅しようとする。海岸の地形性によってあつた組織的運動、沿岸流や長周期波のような、を形成しようとするが、こうした砕波帯においては高周波数成分からなる非組織的運動が活発に存り底質の輸送をもたらすなどさまざまな現象が生じている。こうしたことから本研究は現地観測によってこうした砕波帯における乱れの特性と、非砕波帯との観測結果とも比較検討して得ようとしたものである。

2. 観測資料

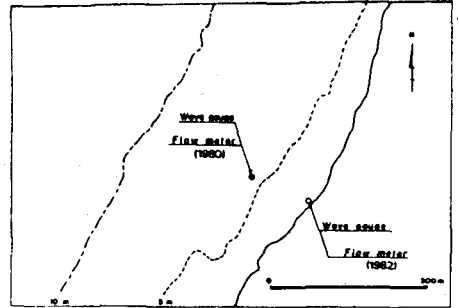
中子海岸：非砕波帯（水深4.8～7.8 m）と1980年の冬期季節風時に1台の電磁誘導型流速計と水深式波高計、砕波帯（水深1.1～2.8 m）と1992年の冬期季節風時に2台の電磁誘導型流速計（内1台圧力計内蔵）によって岸沖方向と沿岸方向および鉛直方向の流速成分と圧力変動の記録を得た。流速記録は、1980年は海底より85 cmの高さで岸沖-鉛直方向、1992年は60 cmの高さで岸沖-鉛直方向、100 cmの高さで岸沖-沿岸方向のものである。

梅津寺海岸：砕波帯（水深1.9～2.2 m, 0.9～2.4 m）と1993, 1994年の冬期季節風時に3台の電磁誘導型流速計（内1台圧力計内蔵）によって記録を得た。流速記録は、1993年は海底より7, 65, 98 cmの高さで岸沖-沿岸方向、1994年は31 cmの高さで岸沖-鉛直方向、45 cmの高さで岸沖-沿岸方向、75 cmの高さで岸沖方向のものである。

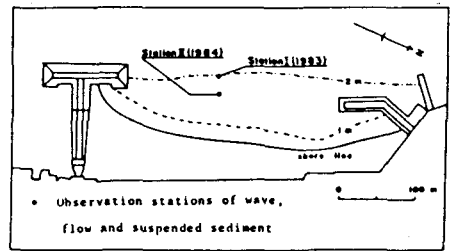
3. 乱れの抽出法

両海岸で得た流速の記録から高周波数成分分離法を用いて乱れを抽出する。砕波帯におけるパワースペクトルは、図-2に示すように低周波数領域（20～30 sec）に大きなパワーと風波のピーク周波数付近（4～5 sec）に比較的大きなパワーを有する。ここでは、まず遮断周波数を風波のピーク周波数の2倍、3倍、4倍の周波数として流速記録をFFT法によって7～8組数展開し、遮断周波数より低周波側の成分を再合成したものを平均流速と同等の方法によって高周波数成分を抽出する。次に、こうした高周波数成分のうち、その頻度分布が最エグウス分布に近いものをもって乱れと定義することによって現地砕波帯における乱れの特性を見出そうとする。

4. 観測結果
 遮断周波数



(a) 中子海岸



(b) 梅津寺海岸

図-1 観測地点

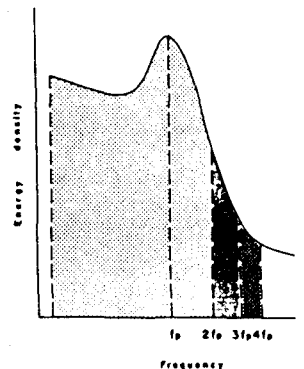


図-2 パワースペクトル

図-3と4は、それぞれ、中津海峯の海底から100 cmの高さでの岸沖方向流速の高周波数成分の頻度分布、梅津海峯の海底から30 cmの高さでの岸沖方向流速の高周波数成分の頻度分布を示したものであり、上図、中図、下図は断周波数を風波のピーク周波数(f_p)の2倍、3倍、4倍の周波数としたものである。図-3をみると、上図は平均値付近でガウス分布より幾分か狭いであるがほぼガウス分布と似ている。中図は上図より歪度、尖度ともに大きく、平均値付近でガウス分布より尖り、正、負の裾でガウス分布より小さくになっている。下図は中図より歪度、尖度ともにかなり大きく、平均値付近、正、負の裾でガウス分布との偏りが大きくなっている。

図-4をみると、上図は平均値付近から正の裾付近にかけてガウス分布より僅かに小さいことがわかる。中図は上図より歪度、尖度ともに小さくガウス分布と良く似ている。下図は中図より歪度、尖度ともに大きくガウス分布とも異なるようである。

以上、砕波型式はすべて spilling 型であったが、乱れと抽出する断周波数は、有義波高1 m、有義波周期5 sec程度の中津海峯では風波のピーク周波数の2倍周波数、有義波高40 cm、有義波周期4 sec程度の梅津海峯では風波のピーク周波数の3倍周波数であった。

パワースペクトル

岸沖、沿岸方向の流速の乱れのパワースペクトルは両海峯とも1 Hzより高周波側では周波数の1/3に比例する。

乱れの root mean square

非砕波、砕波にかかわらず岸沖方向流速の乱れの root mean square $\sqrt{u^2}$ は岸沖方向流速の乱れの root mean square $\sqrt{u^2}$ の1/3であり、砕波の発生頻度が高いほど $\sqrt{u^2}$ 、 $\sqrt{w^2}$ の値は大きい(図-5)。この関係は、方向スペクトルから求めた風波のピーク周波数成分の入射方向がほぼ岸沖方向であることから、岸沖方向と鉛直方向との関係

とみられる。
 $-\overline{uw}$ と $\sqrt{u^2} \cdot \sqrt{w^2}$
 $-\overline{uw}$ は非砕波、砕波にかかわらず $\sqrt{u^2} \cdot \sqrt{w^2}$ の1/3であり、砕波の発生頻度が高いほど大きい(図-6)。

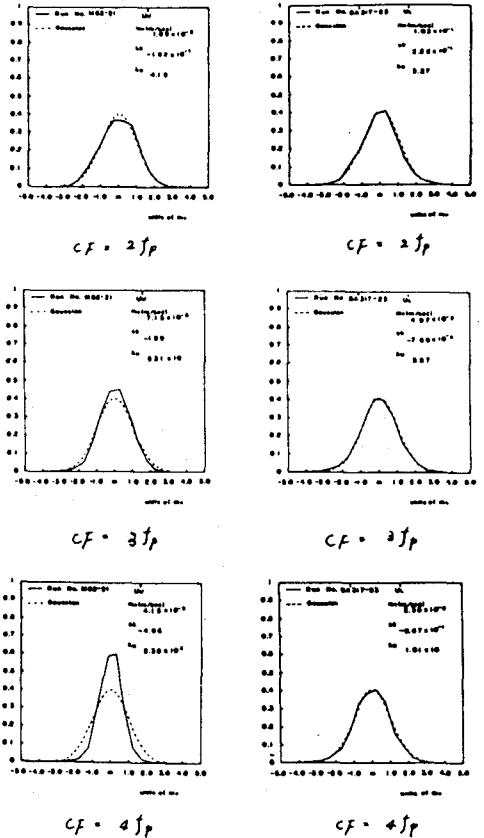


図-3 高周波数成分の頻度分布(中津海峯)

図-4 高周波数成分の頻度分布(梅津海峯)

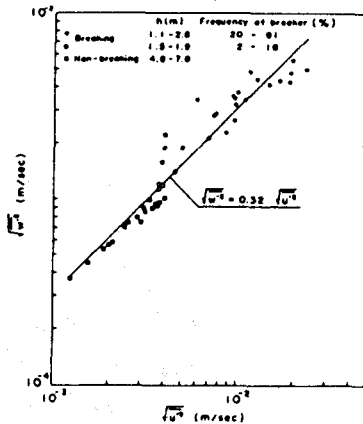


図-5 岸沖方向と鉛直方向流速の乱れの root mean square (中津海峯)

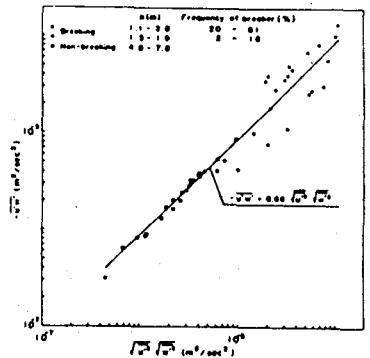


図-6 $-\overline{uw}$ と $\sqrt{u^2} \cdot \sqrt{w^2}$ の関係(中津海峯)